

マダイ前期仔魚の体表に見出された感覚突起 Cupulae

山 下 金 義

Sensory Cupulae Found in Prelarvae of Red Seabream *Pagrus major*

Kaneyoshi Yamashita

(Received October 7, 1981)

Free neuromasts and accompanying cupulae distributed on the body surface of artificially hatched *Pagrus major* at the prelarval stage, i.e., from 0 to 72 hrs after hatching, were examined. Ten pairs of free neuromasts and cupulae were distributed on either side of the body from the head to the caudal peduncle in prelarvae (3.02~3.30 mm TL) 48 hrs after hatching. The size of cupulae were from 66 μ long by 8.8 μ wide to 137 μ long by 23 μ wide. Many of the cupulae were rod-shaped, whereas the cupulae in the postorbital region were larger in size because the tips spread out in a bugle shape. Two pairs of cupulae were found in the postorbital and infraorbital region of larval fish just hatched. Another pair of cupulae appeared in the dorsal region in 5-hr-old larvae (2.84 mm TL). In 24-hr-old larvae (2.88~3.10 mm TL), 10 pairs of free neuromasts were found from the head to the caudal peduncle region, but there were no cupulae on the postcaudal region. Cupulae were found on all the free neuromasts in 48-hr-old larvae (3.02~3.30 mm TL). Each cupula could be clearly discriminated on the free neuromasts in all regions in 72-hr-old larvae (3.09~3.53 mm TL).

(Nagasaki Prefectural Institute of Fisheries, Matsugae-cho, Nagasaki 850, Japan)

硬骨魚の仔魚の体表には、透明な棒状突起 クプラ (cupulae) を有する遊離感丘 (free neuromasts) が分布していることは古くから知られ、その刺激受容機構が成魚の側線器官と共通しているところから、クプラを付帯する遊離感丘は側線器官の前駆感覚器と考えられている。視覚その他感覚受容器の未発達な前期仔魚にとって、体表に分布するクプラを付帯した遊離感丘は極めて重要な受容器官と思われる。

筆者は、すでにふ化後間もないマダイ仔魚の頭部先端から尾柄部にいたる体側表面に分布するクプラをもつ感丘を観察し報告した (山下, 1960)。その後、ふ化直後から3日までの前期仔魚におけるクプラの形状と形成過程について観察したので、概要を報告する。

材料および方法

供試魚は、池中で飼育中の養成親魚が自然産卵した受精卵を人工ふ化させたもので、いずれも、ふ化直後からふ化後 72 時間までの健全と思われる仔魚を用いた。供試魚は、クプラの損傷をさけるため、500 cc ピーカーで

すくい取り、MS 222 液を徐々に加えて麻酔させた。麻酔個体は口径の大きい (約 5 mm) 特製のコマゴメビペットで静かに吸い取り、ホールグラスに海水と共に移した。クプラの観察に当っては、生体染色その他の処理をすることなく、光学顕微鏡 ($\times 50$, $\times 150$) を用いた。感丘の組織学的検査は別途に作成したパラフィン切片標本 (H-E 染色およびアザン染色) を用いて観察の参考とした。

結果

クプラの分布と形状 体表に分布するクプラの出現部位とその形状がほぼ定常となるふ化後 48 時間の仔魚 (全長 3.02~3.30 mm) で、クプラの分布と形状について述べる。

クプラは吻端から尾柄にわたる左右の体側表面に 10 対が見出された (Fig. 1A, B)。出現部位は、頭部では上吻端に体前方へ突出する 1 対があり (Fig. 2A, B, E), 鰓蓋部のやや上方に斜め前方へ突出した 1 対と、さらに眼胞と耳胞の間に 2 対ある (Fig. 2C, D)。頭部では少

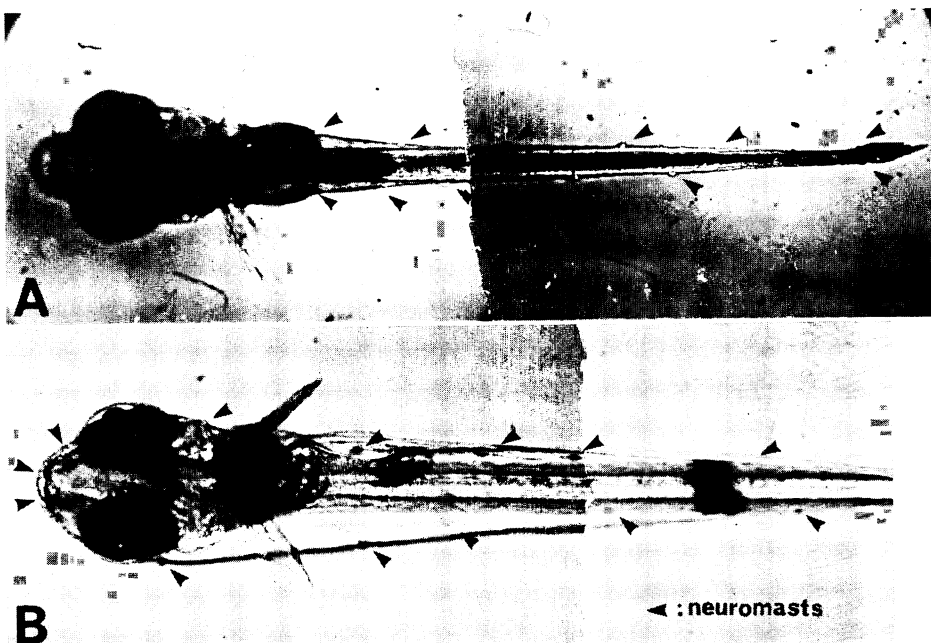


Fig. 1. Photomicrographs showing cupulae extending out from free neuromasts of 72-hr-old larva (3.55 mm TL) of red seabream, *Pagrus major* (live specimens). A: Dorsal view. B: Ventral view.

なくとも 4 対が見出され、軀幹部では 2 対、尾部では 4 対があり、いずれも体側に直立している。体側におけるクプラの配列状態は、横断切片標本による感丘の出現部位でみると、軀幹部では体側の中央からやや背側寄りに位置し (Fig. 3B), 尾部では腹側寄りとなり (Fig. 3C), 成魚の側線域の分布傾向がみられた。また、生体の背面からクプラの配列状態をみると頭部から胴部の体側では体正中線に対して左右対称の配列を示すが、胴部から尾部においては不对称配列として認められた (Fig. 1A)。

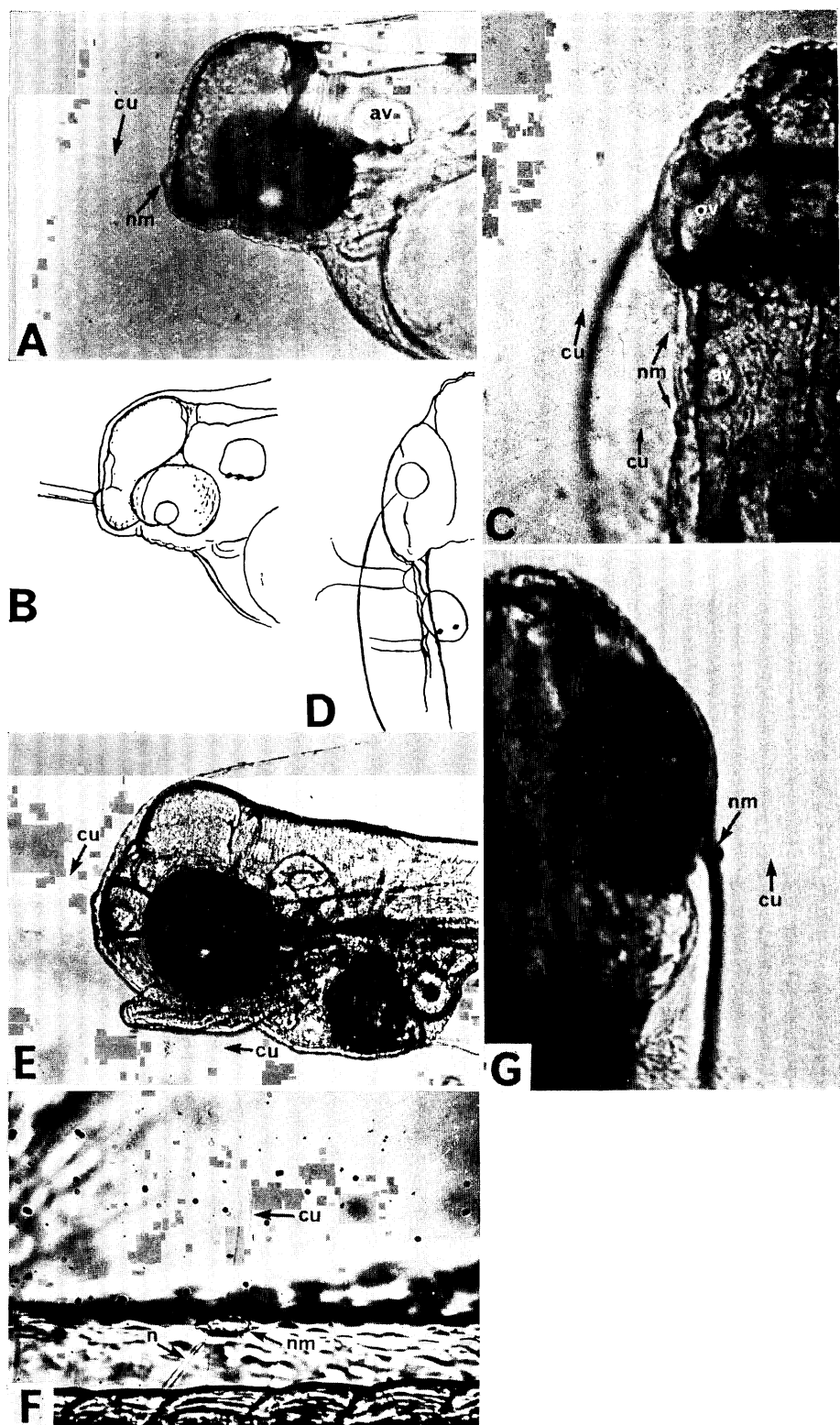
クプラは透明で細長い棒状を呈するが、その先端部は不鮮明で、一般に知られている囊状形態は確認できなかった (Fig. 2A~F)。クプラの付着基部には乳頭状の小突起があり、これに分布する 1 本の神経纖維束が明瞭に観察された (Fig. 2F)。組織標本によれば、小突起は体表に位置し、その遊離縁は体表から突き出した一群の感覺細胞と支持細胞からなる遊離感丘であることが確認された (Fig. 3A~C)。

クプラの長さは出現部位により多少の差があり、同じ部位でも個体差がみられた。全長 3.03 mm の仔魚の測

定例では、最小のクプラは尾柄部にあるもので長さ 66 μ 、幅 8.8 μ 、最大のそれは眼胞後方で長さ 137 μ 、幅 23 μ であった。軀幹部では長さ 77~88 μ 、幅 16.5 μ 、尾部では長さ 66~77 μ を示し、概して、体後部ほど小型になる傾向がある。形状については、多くは付着基部と先端部は同幅または先端部がやや細い棒状であるが (Fig. 2F)、眼胞後方の大型のクプラは先端部が開いたラッパ状を呈している (Figs. 2C, D)。測定例 (上述個体) では長さ 137 μ 、幅は中央部で 23 μ 、先端部で 27.5 μ であった。

クプラは柔軟で弾性に富み、鏡下で生体観察中しばしば魚の動きに応じてゆるやかな動搖を示すが、再び直立状に復する。しかし、中には魚の動きに関係なく、クプラの上半部が軽く彎曲したものや、クプラ自体は直立であるが、感丘の遊離縁を支点に体の前方または後方へ傾いたものが観察された。このようなクプラの傾きは眼胞後方と下方の 2 本のクプラでしばしば認められた (但し同一焦点では見えない)。しかし、多くの場合これらのクプラは平行して直立するが (Fig. 4A), ときに両者は

Fig. 2. Photomicrographs showing the cupulae of live larvae of red seabream. A: Cupula extending from nostril region of 20-hr-old larva. $\times 50$. B: Schematic illustration of A. C: Postorbital region of 20-hr-old larva. $\times 50$. D: Schematic illustration of C. E: Nostril region of 48-hr-old larva. $\times 50$. F: Trunk region of 72-hr-old larva. $\times 150$. G: Infraorbital region of 72-hr-old larva. $\times 150$. av, auditory vesicle; cu, cupula; n, nerve; nm, free neuromast; ov, optic vesicle.



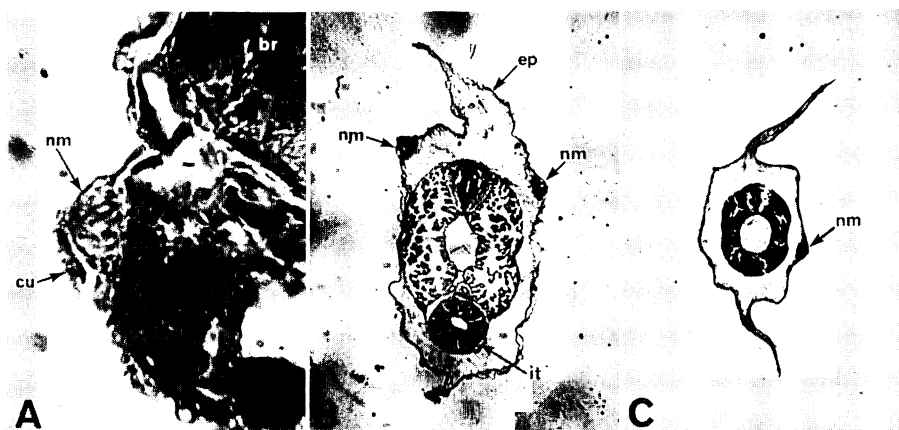


Fig. 3. Cross sections of free neuromasts of larva of red seabream 24 hrs after hatching. H-E strained. A: Free neuromast on the opercle region. $\times 220$. B: Free neuromasts on the trunk region. $\times 110$. C: Free neuromast on the tail region. $\times 110$. br, brain; ep, epidermis (for other symbols, see legend to Fig. 2).

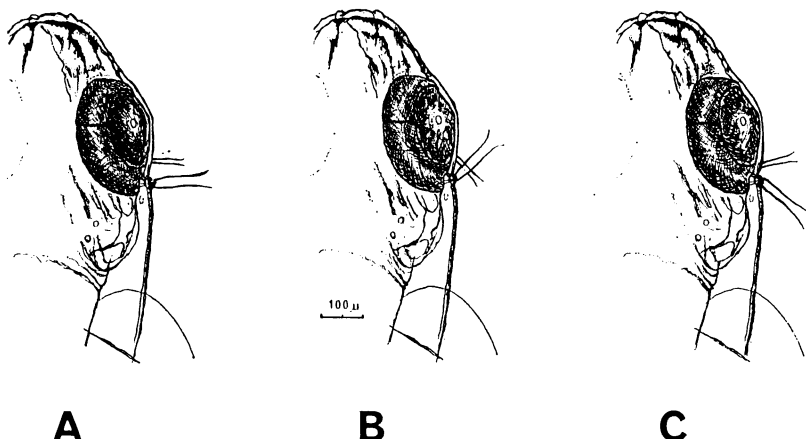


Fig. 4. Schematic illustrations showing cupulae on the postorbital and infraorbital regions of larva 48 hrs after hatching. A: Parallel up-right 2 cupulae on the postorbital and infraorbital regions. B: Crossing 2 cupulae on the postorbital and infraorbital regions. C: V-shaped 2 cupulae on the postorbital and infraorbital regions.

互いに体の前方または後方の異なる方向へ傾き、それらの方向によっては2本のクプラは交差状(Fig. 4B)、またはV字状(Fig. 4C)に認められることがあった。このような傾きが正常か否かについては明らかでないが、クプラ自体はとくに変形や損傷は認められなかった。

クプラの形成 ふ化直後の仔魚(全長2.37~2.67mm)では眼胞後方(眼胞と耳胞の間)と耳胞下方に2対のクプラが認められた(Fig. 2C, D)。全長2.44mmの仔魚の場合では前者はラッパ状を呈し、長さ132μ、幅は中央部で22μ、先端部で44μを示した。後者は長さ99μ、幅は中央部で11μ、先端部で15μと軽度の開きが

みられた。軀幹部および尾部ではまだ感丘は見出されず未完成と思われる。なお、胎動中の胚体頭部に卵膜を通してクプラを認めているので、上記の2対はふ化前にはすでに形成されていたものと思われる。ふ化後5時間経過すると、前記の2対の他に、腹部体側に1対が見出され、その長さは77μ、幅は11μであった(全長2.84mm)。ふ化後20時間に至ると軀幹部から尾部前半にわたる両体側に遊離感丘が明瞭に認められるようになるが、尾部の感丘にはクプラは確認できなかった。また、このとき吻端部に1対の比較的大型のクプラを認めたが形成時期は明らかでない(Fig. 2A, B)。ふ化後24時間

の仔魚（全長 2.88~3.10 mm）では吻端から尾柄部にいたる両体側に 10 対の遊離感丘を認めたが、尾部後半の感丘にはクプラはまだ確認できない。ふ化後 48 時間の仔魚（全長 3.02~3.30 mm）では、前述のとおり、頭部から尾柄部の間に分布する感丘のすべてにクプラが確認された (Fig. 1A)。ふ化後 72 時間の仔魚（全長 3.09~3.55 mm）では各部位の遊離感丘とそれに付帯するクプラは一層明瞭となるが、吻端部のそれはむしろ萎縮状態と思われるような形態を示す個体もあった (Fig. 2E)。しかし、分布状態はふ化後 48 時間と変りないことから、クプラをともなった遊離感丘の定型は少なくともふ化後 48 時間には確立されるものと思われる。

考 察

感丘ならびにクプラの形成時期については魚種によって差のあることが知られている。例えば、海産魚ではシマハゼやイソギンボはふ化時にはすでに 5 対のクプラを有する感丘が形成され (Iwai, 1963a, b), スズキ、クロダイ、イシガレイおよびクサフグではふ化前にはクプラをそなえた感丘を有することが報告されている (岩井, 1972)。一方、淡水魚ではコイは胚体期にはすでに感丘は形成されるが、クプラはふ化後 24 時間頃形成される (佐藤, 1955)。メダカはふ化後 20 時間頃、キンギョはふ化後 4 日頃形成される (Iwai, 1964, 1965)。また、オイカワ、ウグイおよびワカサギではいずれもふ化後にクプラが形成されるという (岩井, 1972)。このように、クプラの発達は淡水魚では遅く海産魚では早い傾向があり、とくに海洋浮遊性仔魚では顕著であるといわれ (Cahn and Show, 1962; Iwai, 1963a, b, 1967; 岩井, 1972)。海産浮遊仔魚にとっては外敵や索餌など生活環境の変化を感じる上でクプラをそなえた遊離感丘は極めて重要な感覚器官であることを示している。

マダイ仔魚については、すでに述べたとおり、胚体の頭部にクプラを認めているので、上述の海産魚と同様な早期形成を示すものと思われる。感丘ならびにクプラの発達経過を、マダイの近縁種であるクロダイと比較すると、クロダイのふ化直後の仔魚は眼胞後部に 1 対のクプラがあり、発育にともない逐次増加して、10 日目には体側に 10 対が形成される。また、眼胞後部のクプラは体側のものより目立つて大型であるとい (岩井, 1972)。マダイではふ化直後には眼胞後方には大小 2 対のクプラがあり、大型の先端はラッパ状を呈し、ふ化後 48 時間にはすでに頭部から尾柄にいたる体側に 10 対が形成される。このことから判断すると、クプラの形成時期はクロダイより多少早いように思われる。

眼胞後方のクプラは体側のものに比べて大型であることはマダイ、クロダイばかりでなく、スズキ、イソギンボ、イシガレイ、クサフグ (岩井, 1972) やコイ (佐藤, 1955) でも認められているが、マダイで観察されたラッパ形状のクプラについては他の魚種では報告がない。ふ化直後から 72 時間にいたる各時期の仔魚でいずれもラッパ形状を認めていることから、この形状は異常とは思われない。いずれにしても、遊離感丘と発生学的ならびに組織学的に同一起源とされている耳胞 (羽生, 1970) に隣接してしかも初期に大型クプラをともなった感丘が形成されることは、耳胞との機能上の関係は別にしても、本受容器の機能的特殊性を予測させる。

次に、クプラの形成過程と仔魚の浮遊行動との関係についてみると、ガラス水槽 (50×20×30 mm, 水温 19.8°C, 比重 25.25) での止水観察によれば (山下, 1966), ふ化後数時間を経過した仔魚は仰向位 (または倒立位) で自然に沈降と上昇を始める。このとき沈降中の魚は槽底に近づくにつれ徐々に速度が落ち、槽底より 1~3 cm に達すると停止し、そのまま水平に移動しつつ上昇に移る。水面近くに達すると再び沈降する。それも、高い収容密度 (約 50 尾/l) のため数 mm の間隔で無規則な浮沈行動を示すにもかかわらず魚は互いに接触するようなことはなかった。このような浮遊時にみられる自然な浮沈現象は微細な局所流動によるものと考えられるが、数 mm 間隔で浮上と沈降を繰返す様は魚自体の調節能力の存在を予測させる。とくに、このときに示す速度の調節と転向および魚体間の接触の回避など一連の微妙な浮沈行動にはクプラが関与しているのではないかと考えられるが、その機構は明らかでない。Cahn and Shaw (1962) によれば、クプラは微細な渦流でも反応して曲がり、これによって刺激の伝達をはかるとしているが、羽生 (1970) によれば、*Lota vulgaris* や *Acarima cerma* のクプラを人為的に押すと遊離線より最大約 10 μm 動いたとい。これらの事実から判断すると、クプラ基部は直立固定されたものではなく、外因による刺激の程度によっては、Cahn らの云うような曲がり反応以外に、クプラ自体の傾きも起るのであるまい。本研究で観察されたクプラの傾きは (Fig. 4A~C) このことを示す現象とも考えられる。ふ化後 48 時間を経過すると (水温 20.3~21.5°C), 魚体に浮遊生物が近づいたり、スポットを近づけると (魚体より約 1 cm), 仔魚は突発的に直進運動を示すようになる (山下, 1966)。これは外部刺激に対する反応が行動上に明確に現われたもので、一種の逃避行為とみなされる。このような行動が発現する時期とクプラの完成期とが一致していることは極めて興味深いことで

ある。

クプラは体表から外部に突出していながらぜい弱であり、多少の衝撃でも損傷しやすいことは各研究者(Cahn and Shaw, 1962; Iwai, 1963a, 1976; 羽生, 1970; 岩井, 1972)が一致して指摘している。このことはマダイでも同様であり、その人工飼育において、初期仔魚の運搬や移植時において取り扱いに慎重さを欠いた場合や、強い通気中の飼育ではクプラの損傷が考えられる。とくに、強い通気を施した高密度飼育の場合では、おそらく仔魚は前述の浮遊態勢の調節機能はもはや無効となり、ときには魚体間の接触や槽壁への接触(衝突)も考えられる。このような場合、クプラの破損やときには遊離感丘の損傷も起り得る。諸感覚器の未分化な前期仔魚においてクプラまたは遊離感丘が損傷したとき、その程度にもよろうが、側線器官の形成不全などのような発育上重大な障害をもたらすことも考えられる。

謝 辞

本報のご校閲を頂いた京都大学農学部水産学教室の岩井保博士に対し深謝し、また、発表の機会を与えられた長崎県水産試験場長藤田矢郎博士に謝意を表する。

引 用 文 献

Cahn, P. H. and E. Shaw. 1962. The first demonstration of lateral line cupulae in the Mugiliformes. Copeia, 1962(1): 109~114.

- 羽生 功. 1970. 側線器官. 魚類生理 24, (pp. 488~491). 恒星社厚生閣, 東京, 554 pp.
- Iwai, T. 1963a. Development of lateral-line cupulae in the gobioid fish, *Tridentiger trigonocephalus* (Gill). Bull. Misaki Mar. Biol. Inst. Kyoto Univ., (4): 1~20.
- Iwai, T. 1963b. Sensory cupulae found in newly hatched larvae of *Bleennius yatabei* Jordan et Synder. Bull. Japan. Soc. Sci. Fisheries, 29(6): 503~506.
- Iwai, T. 1964. Development of cupulae in free neuromasts of the Japanese Medaka *Oryzias latipes* (Temminck et Schlegel). Bull. Misaki Mar. Biol. Inst. Kyoto Univ., (5): 31~37.
- Iwai, T. 1965. Notes on the cupulae of free neuromasts in larvae of the goldfish. Copeia, 1965 (3): 379.
- Iwai, T. 1967. Structure and development of lateral line cupulae in teleost larvae. pp. 24~44, figs. 1~9, In: P. H. Cahn, ed. "Lateral line detectors" Indiana Univ. Press, Bloomington and London.
- 岩井 保. 1972. 硬骨魚類仔魚の free neuromasts の形態について. 魚類学雑誌, 19(4): 307~311.
- 佐藤光雄. 1955. コイの側線系感覚器の発生. 魚類学雑誌, 4: 105~112, figs. 1~6.
- 山下金義. 1960. マダイ仔魚の行動に関する観察. 総合海洋科学, 2: 201~208.
- 山下金義. 1966. マダイ養殖の基礎的研究 1. 稚仔の行動について. 水産増殖, 11(4): 189~206, figs. 1~43

(850 長崎市松ヶ枝町 7-29 長崎県水産試験場)